

ORIGINAL ARTICLE

Investigating the Effect of Coated Lipid Nano Particles of Spironolactone with Chitosan on Their Properties

Reza Enayatifard¹,

Jafar Akbari^{2,3},

Majid Saeedi^{2,3},

Katayoun Morteza-Semnani⁴,

Safieh Parvin⁵,

Seyyed Mohammad Hassan Hashemi⁵,

Amirhossein Babaei⁵,

Seyyed Sohrab Rostamkalei⁶

¹ Associate Professor, Department of Pharmaceutics, Pharmaceutical Sciences Research Center, Mazandaran University of Medical Sciences, Sari, Iran

² Professor, Department of Pharmaceutics, Faculty of Pharmacy, Mazandaran University of Medical Sciences, Sari, Iran

³ Pharmaceutical Sciences Research Center, Haemoglobinopathy Institute, Mazandaran University of Medical Sciences, Sari, Iran

⁴ Professor, Department of Medicinal Chemistry, Pharmaceutical Sciences Research Center, Mazandaran University of Medical Sciences, Sari, Iran

⁵ Pharmacy Student, Student Research Committee, Mazandaran University of Medical Sciences, Sari, Iran

⁶ PhD Student in Pharmaceutics, Pharmaceutical Sciences Research Center, Mazandaran University of Medical Sciences, Sari, Iran

(Received August 16, 2017 ; Accepted May 29, 2018)

Abstract

Background and purpose: Solid lipid nanoparticles are in the colloid carriers. The benefits of these drug carriers are the controlled release of the drug and the protection of the drug being loaded. Spironolactone is an aldosterone antagonist and androgen receptor. Its oral bioavailability is low due to the low solubility of this drug and its slow release. Reducing particle size by increasing the level of the drug leads to increased release, higher oral bioavailability, higher particle size in contact with the dissolution medium, and increasing the dissolvability of the drug saturation.

Materials and methods: Solvent emulsification/evaporation was used to prepare spironolactone nanoparticles. For this purpose, the lipid and drug were dissolved in an appropriate organic solvent and added to the aqueous phase containing surfactant during mixing by homogenizer. After coated with chitosan, the chitosan was dissolved in dilute acid and was added to the suspension on the stirrer drop by drop.

Results: By maintaining the amount of lipid in the formulation and increasing the amount of surfactant, the particle size decreased significantly. In general, the coating of spironolactone nanoparticles with chitosan increased the particle size and their dispersion, and the zeta potential changed from a negative value to a positive value.

Conclusion: Spironolactone coated with chitosan was found to have a slower release than solid lipid nanoparticles and nanosuspension.

Keywords: solid lipid nanoparticles, spironolactone, Tween 20, Span 80

J Mazandaran Univ Med Sci 2018; 28 (162): 25-36 (Persian).

* Corresponding Author: Seyyed Sohrab Rostamkalei - Pharmaceutical Sciences Research Center, Mazandaran University of Medical Sciences, Sari, Iran (Email: Sohrab.rostamkalei@gmail.com)

بررسی تاثیر روکش دادن نانو ذرات لیپیدی جامد اسپیرونولاکتون با کیتوسان بر خصوصیات آن ها

رضا عنایتی فرد^۱
جعفر اکبری^۲
مجید سعیدی^۳
کتابیون مرتضی سمنانی^۴
صفیه پروین^۵
سید محمد حسن هاشمی^۵
امیر حسین بابایی^۵
سید سهراب رستمکلایی^۶

چکیده

سابقه و هدف: نانوذرات لیپیدی جامد در دسته حامل های کلولی دارند. از مزایای این حامل های دارویی، امکان رهش کنترل شده دارو و محافظت از داروی بارگذاری شده می باشد. اسپیرونولاکتون آنتاگونیست، آلدوسترون و رسپتور های آنдрودئنالین است و به علت حلالیت در آب کم و آزاد سازی آهسته آن، فراهمی زیستی خوراکی این دارو پایین است. کاهش اندازه ذره ای با زیاد کردن میزان سطح دارو، باعث افزایش آزاد سازی، فراهمی زیستی خوراکی بالاتر، سطح ذرات بالاتر در تماس با محیط اتحال و افزایش اتحال پذیری اشباع دارو، می شود.

مواد و روش ها: در این مطالعه تجربی، برای تهیه نانوذرات اسپیرونولاکتون از روش Solvent emulsification/evaporation استفاده شد. بدین منظور لیپید و دارو در حلal آلی مناسب حل گردید و به فاز آبی حاوی سورفاکtant در حین همزدن توسط هموژنایزر اضافه شد. پس از آن جهت پوشش با کیتوسان، کیتوسان در اسید رقیق حل شد و قطره قطره به سوسپانسیون بر روی استیرر اضافه گردید.

یافته ها: نتایج نشان می دهد که با ثابت ماندن مقدار لیپید در فرمولاسیون و افزایش مقدار سورفاکtant اندازه ذرات کاهش معنی داری داشته است. به طور کلی روکش دادن نانوذرات اسپیرونولاکتون با کیتوسان موجب افزایش در اندازه ذرات و پراکندگی آنها گردید و مقدار پتانسیل زتا از عددی با علامت منفی به عددی دیگر با علامت مثبت تغییر پیدا کرد.

استنتاج: اسپیرونولاکتون روکش شده با کیتوسان، رهش آهسته تری نسبت به نانوذرات لیپیدی جامد و نانوسوسپانسیون دارد.

واژه های کلیدی: نانوذرات لیپیدی جامد، اسپیرونولاکتون، تویین، ۲۰، اسپان ۸۰

مقدمه

جامد در دارو رسانی انجام گرفت. این حامل های دارویی به عنوان جایگزینی برای سیستم های حامل

در سال ۱۹۹۰ پژوهش هایی توسط Muller و همکاران (۱) در زمینه قابلیت های نانوذرات لیپیدی

Email: Sohrab.rostamkalaei@gmail.com

مولف مسئول: سید سهراب رستمکلایی - ساری: کیلومتر ۱۷ جاده فرج آباد، مجتمع دانشگاهی پامیر اعظم

۱. دانشیار، گروه فارماسیوتیکس، مرکز تحقیقات علوم دارویی، دانشگاه علوم پزشکی مازندران، ساری، ایران

۲. استاد، گروه فارماسیوتیکس، دانشکده داروسازی، دانشگاه علوم پزشکی مازندران، ساری، ایران

۳. مرکز تحقیقات علوم دارویی، پژوهشکده هموگلوبینوپاتی، دانشگاه علوم پزشکی مازندران، ساری، ایران

۴. استاد، گروه شیمی دارویی، مرکز تحقیقات دانشجویی، دانشگاه علوم پزشکی مازندران، ساری، ایران

۵. دانشجوی داروسازی، کمیته تحقیقات دانشجویی، دانشگاه علوم پزشکی مازندران، ساری، ایران

۶. دانشجو PHD فارماسیوتیکس، مرکز تحقیقات علوم دارویی، دانشگاه علوم پزشکی مازندران، ساری، ایران

تاریخ دریافت: ۱۳۹۶/۵/۲۵ تاریخ ارجاع چهت اصلاحات: ۱۳۹۶/۶/۷ تاریخ تصویب: ۱۳۹۶/۵/۲۸

در شرایط اسیدی باعث تجمع بزرگ در محیط معده می‌شود که باعث محدودیت دارو رسانی خوراکی می‌گردد. برای افزایش سرعت جذب و بهبود رهش نانوذرات، تغییرات سطحی و روکش دادن آن‌ها توسط پلیمرهای طبیعی مانند کیتوسان و آلتینات انجام می‌شود که موجب بهبود ویژگی‌های فیزیکو شیمیایی ذرات مخصوصاً سایز، پتانسیل زتا و پایداری در محیط معده می‌گردد. کیتوسان به عنوان پلی ساکارید طبیعی، با داشتن ویژگی‌هایی مانند غیر سمی بودن انتخاب بهتری برای روکش دادن نانوذرات می‌باشد. SLN‌های روکش داده شده با کیتوسان بهترین پایداری را در شرایط اسیدی نشان می‌دهند به‌طوری که یک لایه ضخیم اطراف هسته لیپیدی تشکیل داده که مانع اگریگیشن ذرات می‌گردد^(۵).

اسپیرونولاکتون دارای ساختار استروئیدی و آناتاگونیست اختصاصی رسپتورهای آلدوسترون می‌باشد و در اتصال به رسپتور با آلدوسترون رقابت می‌کند. در بخش دیستال توبول کلیه، با بلاک کردن این رسپتور کanal سدیم-پتانسیم و تبادل آن را مهار کرده، سبب حفظ پتانسیم در بدن می‌شود و هم‌چنین اثر دیورتیکی خود را ایجاد می‌کند. در افزایش سطح هورمون‌های میترالوکورتیکوئیدی، آلدوسترون سبب هیپرآلدسترونیمی می‌گردد که می‌تواند علتش نارسایی احتقانی قلبی، سیروز کبدی و سندروم نفروتیک باشد. اسپیرونولاکتون از طریق رقابت با آلدوسترون برای اتصال به رسپتور از ایجاد آسیت و ادم جلوگیری می‌کند. اسپیرونولاکتون در پایین آوردن فشار خون سیستولیک و دیاستولیک در بیماران با هیپرآلدسترونیمی موثر است. اسپیرونولاکتون هم‌چنین با مهار تبادل سدیم-پتانسیم سبب حفظ پتانسیم در بدن می‌شود. از نظر فارماکو کیнетیکی اسپیرونولاکتون و متاپولیت‌هایش بیش از ۹۰ درصد با پروتئین‌های پلاسمی متصل می‌گردد.

متاپولیسم و دفع اسپیرونولاکتون به سرعت تحت متاپولیسم گسترده قرار گرفته و اکثر متاپولیت‌هایش نیز

کلولیئی قدیمی تر مانند امولسیون‌ها و لیپوزوم‌ها معرفی شدند. در ساختار SLN، ماتریکس لیپیدی زیست سازگار و زیست تخریب‌پذیر وجود دارد. ذرات لیپیدی تولید شده در دمای محیط و بدن جامد، اندازه‌ی آن‌ها در محدوده‌ی ۱۰۰۰ تا ۵۰ نانومتر می‌باشد. از جمله اکسپیان‌های به کار رفته در ساخت SLN، لیپیدهای جامد و امولسیفار برای پایدار کردن بین سطح آب و لیپید است. از لیپیدهای پر کاربرد می‌توان به تری‌گلیسیریدهای، استروئیدهای، اسیدهای چرب و مومن‌ها و از امولسیفارهای رایج می‌توان به فسفولیپیدهای پلی‌سوربات‌ها، استرهای سوربیتان، پلیمرهایی نظریزر پولوکسامر اشاره کرد. SLN برای دارو رسانی پوستی، خوراکی، تریقی، گوشی، چشمی، ریوی و مقدعی به کار می‌رود. طبق یک مدل کلی، ساختار نانوذرات لیپیدی جامد مشکل از یک هسته لیپیدی جامد است که با پوششی از امولسیفار احاطه شده و این پوشش باعث پایداری نانوذرات در حامل می‌گردد^(۶). SLN‌ها به راحتی برای تهیه داروهای لیپوفیل به کار می‌روند، چرا که داروهای لیپوفیل به راحتی با چربی‌های موجود در SLN بر همکنش دارند، در حالی که داروهای هیدروفیل به سختی داخل ماتریکس هیدروفوب SLN قرار می‌گیرند. موارد محدودی از داروهای هیدروفیلی که در SLN انکپسوله شده‌اند وجود دارد^(۷). SLN‌ها مشکلات ناپایداری و زیست تخریب ناپذیری سایر حامل‌های کلولیئی را ندارند و از آن‌ها برای افزایش فراهمی زیستی و تولید فرم‌های پیوسته رهش داروها استفاده می‌شود^(۸). کیتوسان یک بیو پلیمر کاتیونی می‌باشد که در صنعت فارماسیوتیکس و آرایش بهداشتی استفاده می‌شود. این پلیمر از طریق واکنش‌های الکتروستاتیکی با دیگر اجزای موجود در ترکیب، برای ساخت کمپلکس‌های محلول و غیر محلول کاربرد دارد. علاوه بر این با جذب داخل قطره‌های روغنی سطحی با تشکیل یک لایه‌ی جامد موجب پایداری فرآورده می‌گردد^(۹). به طور کلی پایداری پایین نانوذرات SLN

اسپان ۸۰ در یک بشر ریخته شد و در ۲۰ میلی لیتر حلال کلروفرم حل گردید. برای تهیه فاز آبی، در بشری جداگانه ۱۵۰۰ میلی گرم از توین ۲۰ به همراه ۲۰۰۰ میلی گرم اسپان ۸۰ و ۸۰ گرم آب دیونیزه ریخته شد و محلول حاصل توسط اولترا هموژنايزر با دور ۷۰۰۰ دقیقه یکنواخت گردید. روی استیر فاز آلی قطره قطره به فاز آبی اضافه گردید و امولسیون حاصل به مدت ۱۰ دقیقه بدون حضور دما توسط سونیکاتور پرروب دار سونیکه و به مدت ۲۴ ساعت روی استیر قرار داده شد تا حلال آلی از محیط خارج و نانوسوپانسیون از ذرات دارو بدست آید. بعد از این مدت با دستگاه زتا سایزر، اندازه ذره‌ای، پتانسیل زتا و شاخص پراکندگی (PDI) (CHEMICALS & METALS CO., LTD Korea) (CHEMICAL CO., LTD DAEJUNG) Span80، (Millipore filters. Germany)، آب UP توسط دستگاه، الکل ۹۶ درصد (غدیر)، آب مقطر تازه تولید گردید.

اندازه گیری پتانسیل زتا، اندازه و شاخص پراکندگی اندازه، شاخص پراکندگی و پتانسیل زتا نانوذرات لیپیدی جامد اسپیرونولاکتون توسط Dynamic Light Scattering (DLS) با استفاده از Zetasizer Nano ZS در دمای ۲۵ درجه و زاویه ۹۰ درجه اندازه گرفته شد.

بررسی رهش دارو

برای بررسی آزاد سازی دارو از روش کیسه دیالیز استفاده شد. ۲۴ ساعت قبل از انجام تست کیسه دیالیز در آب مقطر غوطه ور شد تا انعطاف پذیری مناسبی پیدا کند. مقداری از فرآورده‌های حاوی نانوذرات لیپیدی جامد، نانوذرات با روکش کیتوسان high و نمونه‌های دارو بدون لیپید به عنوان شاهد در کیسه دیالیز قرار داده، و دو طرف آن به طور کامل بسته شد. کیسه دیالیز در ظرف حاوی ۲۰۰ میلی لیتر با فر فسفات با PH = ۷/۴

فعال بوده و مدت اثرش حدود ۱۶ ساعت می‌باشد^(۶). برای افزایش اثر کاهش عوارض و افزایش فراهمی زیستی اسپیرونولاکتون، آن را به صورت لیپوزوم نانوکپسول و sIn فرموله نمودند^(۷-۹). در این مطالعه به بررسی تاثیر روکش دادن نانو ذرات لیپیدی جامد اسپیرونولاکتون با کیتوسان بر خصوصیات و رهش آن‌ها پرداخته شده است.

مواد و روش‌ها

در این مطالعه تجربی، پودر اسپیرونولاکتون، SAMCHUN PURE (Korea) Tween 20 با ۲۰ گلیسریل مونو استئارات (Sigma. Germany)، کیتوسان Fluka، کلروفرم، اسید گلایسیال، فیلتر ۰/۲۲ نانومتر (Millipore filters. Germany)، آب UP توسط دستگاه، الکل ۹۶ درصد (غدیر)، آب مقطر تازه تولید گردید.

ساخت پلیمر کیتوسان

۱۰۰ میلی گرم از کیتوسان را به همراه ۲۰۰۰ میلی گرم از توین ۲۰ در یک بشر ریخته و یک سی سی استیک اسید گلایسیال به آن اضافه گردید و روی استیر با دور ۹۹ با حرارت مناسب قرار داده شد. سپس همزمان ۴۰۰ سی سی آب به طور آهسته به آن اضافه گردید و مجموعه تا شفاف شدن کامل پلیمر روی استیر قرار داده و صاف گردید.

ساخت نانوذرات لیپیدی جامد

برای تهیه نانوذرات اسپیرونولاکتون از روش Solvent emulsification/evaporation استفاده گردید که نیاز به دو فاز آبی و آلی می‌باشد. برای تهیه فاز آلی ۲۰۰ میلی گرم از پودر اسپیرونولاکتون، ۲۰۰۰ میلی گرم از لیپید گلیسریل مونو استئارات و ۲۰۰۰ میلی گرم از

نمونه‌ها با سرعت ۱۰ درجه سانتی گراد در دقیقه و در محدوده دمایی ۳۰-۳۰۰ درجه سانتی گراد مورد بررسی قرار گرفتند.

فریز درایر کردن

در حوزه داروسازی جهت تبدیل محلول‌ها و سوپسپانسیون‌ها به فرم جامد با پایداری قابل قبول جهت توزیع و نگهداری، فریز درایر کردن مورد استفاده قرار می‌گیرد. آب منجمد از طریق تصلیح خارج می‌شود. برای تمامی ماتریکس‌های لیپیدی مورد مطالعه، فریز درایر کردن در نتیجه پیوستن نانوذرات، منجر به تشکیل نانوذرات لیپیدی جامد بزرگتر با توزیع اندازه ذره‌ای گسترده‌تر می‌شود. مقدار مناسبی از cryo precipitant می‌تواند از به هم پیوستن نانوذرات لیپیدی جامد در حین فریز درایر کردن جلوگیری کند. پس از تهیه امولسیون نانو ذرات لیپیدی آن را در ۱۲ اپندورف ریخته و به مدت نیم ساعت با دور ۲۵۰۰ rpm و در دمای ۴ درجه سانتی گراد سانتریفیوژ گردید. بخش رویی دور ریخته شد و بخش رسوب با آب دیونیزه شسته و به مدت ۱۵ دقیقه سانتریفیوژ گردید. رسوب حاصل مجدداً با آب دیونیزه شسته شد. اپندورف ها در دستگاه فریز درایر قرار داده شدند. در این مطالعه نتایج به دست آمده با استفاده از آنالیز واریانس (ANOVA) یک طرفه و متعاقب آن جهت بررسی آزمون صفر در مورد مقایسه میانگین داده‌های موجود در هر بخش از آزمون آماری توکی استفاده گردید. تفاوت با $p < 0.05$ در هر نقطه از نظر آماری معنی‌دار در نظر گرفته شد.

یافته‌ها

نتایج به دست آمده نشان می‌دهد که با ثابت ماندن مقدار دارو و لیپید در فرمولاسیون و افزایش مقدار تویین ۲۰ و اسپان ۸۰ به عنوان سورفاکtant اندازه‌ی ذرات کاهش پیدا کرده و ارتباط معنا داری بین تغییرات مقدار سورفاکtant با شاخص پراکندگی نانو ذرات و

غوطه ور گردید. آزاد سازی به کمک دستگاه انحلال شماره دو فارماکوپه آمریکا طی زمان ۲۴ ساعت و با دور ۶۰ rpm و در دمای ۳۷ درجه سانتی گراد مورد بررسی ۲۴، ۸، ۶، ۴، ۲، ۱ قرار گرفت. نمونه‌گیری در زمان‌های ۱، ۲، ۴، ۶، ۸، ۲۴ ساعت بعد از قرار دادن غشای دیالیز در محیط انحلال انجام گرفت. برای نمونه گیری، هر بار ۵ سی سی از محلول موجود در محیط انحلال برداشته، با فیلتر ۰/۲۲ میکرون صاف و جذب آن با دستگاه HPLC در طول موج ۲۲۸ نانومتر قرائت شد. اعداد حاصل از جذب در معادله جذب-غلظت اسپیرونولاکتون قرار داده شد و غلظت آزاد دارو محاسبه گردید. جهت ثابت ماندن محیط انحلال، بعد هر بار نمونه گیری و برداشتن ۵ سی سی از محیط، ۵ سی سی بافر به محیط اضافه شد.

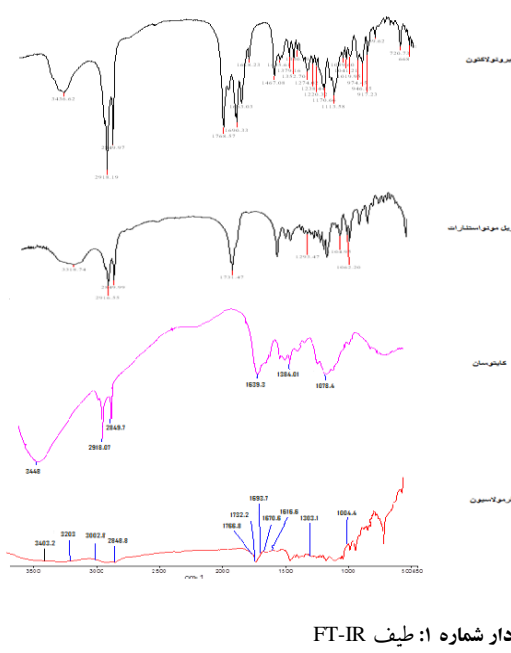
اسپکتروسکوپی FTIR

جهت دستیابی به طیف FTIR از دستگاه PerkinElmer Spectrum نمونه قطره کوچکی از فرآورده‌های حاوی نانوذرات لیپیدی جامد با مقداری پتانسیم بروماید مخلوط شد تا ظاهری خشک پیدا کند و کاملاً همگن شود (پتانسیم بروماید جاذب رطوبت است). مخلوط به دست آمده بر روی دیسکی از جنس فولاد ضد زنگ منتقل شد و دیسک دیگری بر روی آن قرار گرفت. با اعمال فشار توسط جک هیدرولیک مخلوط مذکور بین دو دیسک فولادی پرس شد. بر اثر اعمال پرس، یک دیسک شفاف، نازک و یکنواخت از مخلوط KBr و نمونه ایجاد شد که برای بررسی طیف فروسرخ به دستگاه اسپکتروسکوپی FTIR منتقل گردید. دقت اسکن $0/5 \text{ cm}^{-1}$ و محدوده اسکن $400-4000 \text{ cm}^{-1}$ بوده است.

آنالیز حرارتی DSC

برای دستیابی به ترموگرام نمونه‌های مورد آزمایش از روش آنالیز حرارتی DSC استفاده شد. برای انجام این تست ۵ میلی گرم از هر نمونه برداشته و در داخل های پن‌های آلومینیومی دستگاه قرار داده شد.

کربونیل لاکتونی و باند دو گانه مشاهده نشد و در نتیجه تداخل شیمیایی موثری را بین دارو و حامل نشان نداد. در طیف FT-IR مربوط به مخلوط فیزیکی که شامل تویین ۲۰، اسپان ۸۰، اسپیرونولاکتون و گلیسریل مونو استئارات و کیتوسان بود، تغییری در عدد طول موج های گروه های شاخص ترکیبات به کار رفته دیده نشد، در نتیجه می توان گفت بر هم کنش شیمیایی بین دارو و سایر اجزا در مخلوط فیزیکی وجود ندارد. در بررسی طیف FT-IR مربوط به پودر کیتوسان پیک های شاخص، شامل cm^{-1} ۳۴۰۰-۳۲۰۰ (O-H)، ۳۴۰۰ (N-H)، ۲۸۴۹ (C-H) cm^{-1} (C-O) کششی متقارن)، cm^{-1} ۱۰۷۸ (C-H) کششی (C-O) کششی متقارن)، عدم جایه جایی پیک های گروه های شاخص بوده است. عدم جایه جایی پیک های گروه های شاخص در FTIR حاکی از عدم برهمکنش شیمیایی بین دارو و اجزای فرمولاسیون در فرآورده می باشد.



مطالعات Differential Scanning Calorimetry

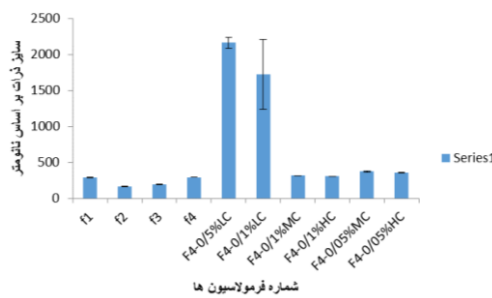
جهت بررسی تداخل و بارگیری مناسب ترموگرام DSC پودر اسپرینولاکتون، گلیسریل منو استئارات، کایتوسان و نانوذرات لیپیدی جامد مورد بررسی قرار گرفت (نمودار شماره ۲). ترموگرام DSC اسپیرونولاکتون

پتانسیل زتا وجود دارد. به طور کلی روکش دادن نانوذرات اسپیرونولاکتون با کیتوسان موجب افزایش در اندازه ای ذرات و شاخص پراکندگی آنها می شود و مقدار پتانسیل زتا از عددی با علامت منفی به عددی دیگر با علامت مثبت تغییر پیدا می کند. نانوذرات اسپیرونولاکتون روکش شده با کیتوسان نسبت به نانوذرات لیپیدی جامد و نانوسوپانسیون، رهش آهسته ای دارند. روکش نانو ذرات با کیتوسان یک لایه ضخیمی را اطراف هسته لیپیدی تشکیل می دهد که منجر به آزاد سازی آهسته دارو می شود که می توان گفت روکش دادن نانوذرات با پلیمر کیتوسان موجب کنترل در سرعت آزادسازی دارو می گردد.

مطالعات Fourier-Transform IR

طیف های FT-IR برای شناسایی تداخلات و پیوندهای احتمالی بین حامل و دارو استفاده می گردد. طیف های FT-IR به دست آمده از نانوذرات لیپیدی جامد اسپیرونولاکتون با طیف اسپیرونولاکتون خالص، گلیسریل مونو استئارات خالص و کیتوسان جهت بررسی تداخلات مورد مقایسه قرار گرفتند (نمودار شماره ۱) که در بررسی طیف FT-IR مربوط به پودر اسپیرونولاکتون خالص پیک های cm^{-1} ۲۹۵۱ (CH)، cm^{-1} ۱۷۶۸ (C=O) لاکتون کششی، cm^{-1} ۱۶۹۱ (C=O) گروه تیو استیل کششی، cm^{-1} ۱۶۷۳ (C=C)، cm^{-1} ۱۶۱۷ (C6) حلقه ای کششی، cm^{-1} ۱۶۱۷ (C=C) کششی (بوده است. در بررسی طیف FT-IR مربوط به پودر گلیسریل مونو استئارات خالص پیک های cm^{-1} ۳۴۰۰-۳۲۰۰ (OH)، cm^{-1} ۲۸۵۰ (C-O)، cm^{-1} ۱۰۰۰ (C=O) کششی، cm^{-1} ۱۷۳۱ (C=O) کششی، cm^{-1} ۱۳۰۰ (C-O) کششی) بود. در بررسی طیف FT-IR نانوذرات لیپیدی جامد اسپیرونولاکتون، پیک های مربوط به گروه های عاملی اسپیرونولاکتون مشاهده شدند و تغییری در عدد موج پیک های گروه شاخص اسپیرونولاکتون مانند گروه های کربونیل تیو استیل و

تovien ۲۰ تهیه گردید که نتایج بهست آمده از بررسی این فرمولاسیون‌ها در جدول شماره ۱ و نمودار شماره ۳ بیان شده است. با افزایش مقدار امولسیفایر اسپان ۸۰ از $۱/۳۲$ گرم به $۲/۳۳$ گرم، اندازه نانوذرات به طور موثری از $۱۹۴/۱۳ \pm ۲۵$ در فرمولاسیون شماره ۱ به $۱/۳$ گرفته توسط سایر محققان تایید کننده این نتایج می‌باشد.

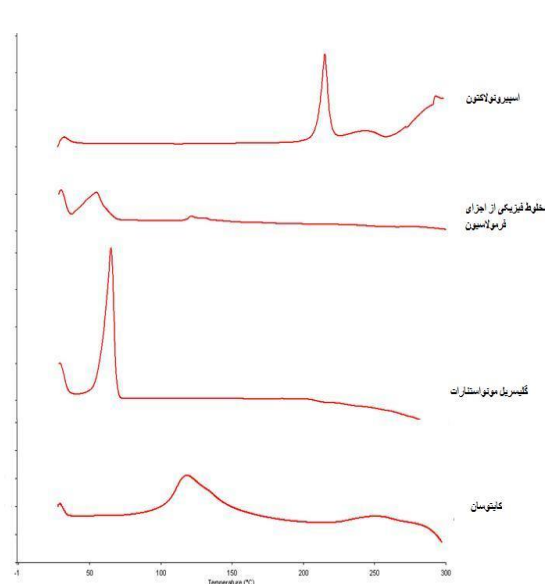


نمودار شماره ۳: میانگین اندازهٔ نانوذرات لیپیدی جامد و نانوذرات روکش شده با کیتوسان در فرمولاسیون‌های ۱-۱۶

کلیدری و همکاران در مطالعه‌ای که بر روی نانوذرات لیپیدی جامد حامل اسپیرونولاکتون انجام دادند با به کار گیری سه امولسیفایر ۸۰، Span 60، Tween 80 و تغییر در میزان آن‌ها در فرمولاسیون‌های متعدد، نشان دادند که با افزایش مقدار امولسیفایر در فرمولاسیون‌ها اندازهٔ ذرات کوچک‌تر می‌شود.^(۶)

تأثیر مقدار امولسیفایر بر پراکندگی اندازهٔ ذره‌ای با توجه به جدول شماره ۱ و نمودار شماره ۳، نتایج بررسی‌های آماری نشان می‌دهند در ۳ فرمولاسیون F3، F2، F1 که مقدار امولسیفایر متغیر است ارتباط معنی‌داری بین تغییر در مقدار امولسیفایر و پراکندگی اندازهٔ ذره‌ای وجود دارد به طوری که با افزایش مقدار امولسیفایر شاخص پراکندگی اندازهٔ ذره‌ای از $\pm ۰/۰۰۹$ در فرمولاسیون شماره ۱ به $\pm ۰/۰۰۵$ در فرمولاسیون شماره ۳ کاهش پیدا می‌کند ($p < 0/05$). در مطالعه‌ای که توسط Muller-Goyman و همکاران

خالص پیک گرمایگر تیزی در حدود ۲۱۲ درجه سانتی گراد نشان می‌دهد که مربوط به نقطه ذوب کریستال دارو است. وجود این پیک نوک تیز در ترموگرام نشانگر این است که اسپیرونولاکتون در پودر دارویی خود در حالت کریستال می‌باشد. همچنین در دمای بالاتر از ۲۶۰ درجه سانتی گراد، دارو شروع به تخریب می‌کند. هم‌چنین ترموگرام DSC گلیسریل منو استشارات پیکی در محدوده ۵۶/۵۰۴ - ۶۷/۲۶۴ درجه سانتی گراد را که مربوط به نقطه ذوب است نشان می‌دهد. بررسی ترموگرام کیتوسان یک پیک پهن در محدوده ۱۰۰ درجه را نشان می‌دهد که احتمالاً ناشی از دست دادن آب می‌باشد و در دمای بالای ۲۵۰ درجه این ماده تخریب می‌شود. بررسی نانوذرات روکش شده با کیتوسان تنها اندوترم مربوط به ذوب GMS را نشان می‌دهد که این امر به معنای روکش شدن ذرات دارو توسط چربی مربوطه می‌باشد.



نمودار شماره ۲: ترموگرام DSC

بحث

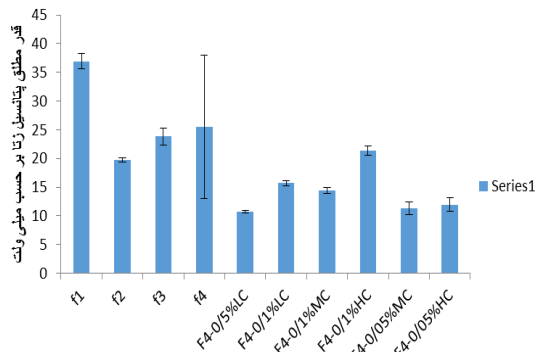
تأثیر مقدار امولسیفایر بر اندازهٔ ذره‌ای نانوذرات لیپیدی جامد سه فرمولاسیون (F1، F2، F3) با مقدار ثابت از لیپید و دارو و مقدار متغیر از امولسیفایرهای اسپان ۸۰ و

جدول شماره ۱: ترکیبات تشکیل دهنده فرمولاسیون ها و میانگین اندازه ذرات، پتانسیل زتا، PDI و داروی بارگیری شده، HC: High Chitosan

Chitosan n=3، LC: Low Chitosan، MC: Middle Chitosan

	میانگین درصد داروی بارگیری شده	میانگین ذرات PDI	میانگین پتانسیل زتا mV	میانگین اندازه ذرات nm high middle Low	کیتوسان	Water	Tween	Span	GMS	Spiro	F		
						Up ml	20 g	80 g	g	g	g		
A/۸۷±۱/۸۸	۰/۶۵۶±۰/۰۹	-۳۶/۹۳±۱/۳۵	۲۹۳/۵۷±۴/۲۵	SLN	-	-	۸۰	۱	۱/۳۲	۱	.۱/۱	F1	
۵/۸۵±۱/۰۵	۰/۲۲۱±۰/۰۶	-۱۹/۳۳±۱/۴۶	۱۶۷/۳۲±۲/۵۴	SLN	-	-	۸۰	۲/۵	۲/۳۳	۱	.۱/۱	F2	
۵/۲۲±۰/۹۷	۰/۷۴۳±۰/۱۵	-۳۳/۸۴±۱/۱۵	۱۹۶/۳۴±۱/۱۷	SLN	-	-	۸۰	۱/۵	۲	۱	.۱/۱	F3	
۸۸/۳۶±۱/۷۵	۰/۵۵۵±۰/۱۳	-۵۷/۵۴±۱/۱۵۶	۲۴۹/۶۰±۰/۸۴	SLN	-	-	۸۰	۱/۵	۴	۲	.۱/۱	F4	
۲۵/۰۴۳±۰/۳۷۵	۰/۹۷±۰/۰۸	۱۰/۷۰±۰/۲۶	۲۱۶/۶۶±۸/۱/۹	SLN-chitosan	-	-	۸۰ درصد	۰/۵	۸۰	۰/۷۵	۲	۱	F4-0/۵%LC
۲۳/۰۸۲±۰/۸	۰/۹۴۹±۰/۱۴	۱۵/۷۷±۰/۴۵	۱۷۳/۵۵±۴/۱/۶۸	SLN-chitosan	-	-	۸۰ درصد	۰/۱	۸۰	۰/۷۵	۲	۱	.۱/۱
۸۵/۰۸۷±۰/۱۰۵	۰/۹۳۳±۰/۱۱	۱۴/۶۹±۰/۰۵۱	۳۱۶/۳۳±۰/۸۹۶	SLN-chitosan	-	٪۰/۱	-	۸۰	۰/۷۵	۲	۱	.۱/۱	4-0/۱%MC
۸۷/۰۸۵±۰/۱۳	۰/۸۵±۰/۰۳	۲۱/۳۴±۰/۸۱	۳۰/۶/۸۰±۰/۷۱	SLN-chitosan	-	درصد ۰/۱	-	۸۰	۰/۷۵	۲	۱	.۱/۱	F4-0/۱%HC
۲۲/۰۴۳±۰/۵	۰/۹۲±۰/۰۳	۱۱/۱۳±۰/۱۵	۷۳/۳۲±۰/۰۳	SLN-chitosan	-	٪۰/۵	-	۸۰	۰/۷۵	۲	۱	.۱/۱	F4-0/۰۵%MC
۲۳/۰۶۶±۰/۵	۰/۸۸±۰/۰۳۳	۱۱/۹۶±۰/۱۳۷	۳۵۶/۶۰±۰/۷۴۳	SLN-chitosan	٪۰/۵	-	-	۸۰	۰/۷۵	۲	۱	.۱/۱	F4-0/۰۵%HC

Chitosan - MC: Middle Chitosan- LC: Low Chitosan n=3



نمودار شماره ۴: میانگین قدر مطلق پتانسیل زتا نانوذرات لیپیدی جامد و نانوذرات روش شده با کیتوسان در فرمولاسیون های ۱-۱۶

در مطالعه‌ای، Rohan Shah و همکاران تاثیر نوع ماتریکس لیپیدی و اکسپیان‌های انتخاب شده بر ویژگی‌های نانوذرات لیپیدی جامد را مورد بررسی قرار دادند. در این مطالعه ارتباط خطی بین غلظت امولسیفایر 20 و زتا پتانسیل یافت نشد. در میان نانوذرات لیپیدی تولید شده ذراتی که با 20 Tween پوشیده شده بودند با وجود کمتر بودن قدر مطلق زتا پتانسیل شان پایدار ماند که به علت ایجاد پایداری فضایی توسط Carne Dal Pizzol امولسیفایر بوده است (۱۱). در مطالعه و همکاران در زمینه تاثیر نوع سورفکتانت و لیپید به کار رفته در فرمولاسیون نانوذرات لیپیدی جامد در ویژگی‌های فیزیکی و شیمیایی آن‌ها، تاثیر تغییر در غلظت سورفکتانت‌ها (polysorbate 80 lecithin S75) بر پتانسیل زتا مورد ارزیابی قرار گرفت که طبق نتایج به دست

در زمینه نانوذرات لیپیدی جامد حامل آلبومین سرم گاوی صورت گرفت، نشان داده شد که با افزایش مقدار امولسیفایر در فرمولاسیون پراکندگی اندازه ذره‌ای کاهش می‌یابد (۱۰). همچنین طبق نتایج بهست آمده در مطالعه Rohan Shah و همکاران در زمینه تاثیر نوع ماتریکس لیپیدی و اکسپیان‌های انتخاب شده بر ویژگی‌های نانوذرات لیپیدی جامد، با افزایش میزان امولسیفایر در فرمولاسیون پراکندگی اندازه ذره‌ای کاهش یافت (۱۱).

تأثیر مقدار امولسیفایر بر پتانسیل زتا به طور کلی امولسیفایرها بر اساس شارژ الکتریکی سطحی و اعمال دافعه الکتریکی بین ذرات با بار الکتریکی همسان یا دافعه فضایی موجب پایداری یا پراکندگی‌های سوسپانسیونی می‌گردد. امولسیفایرها غیریونی در بار الکتریکی سطح ذرات تغییر موثری ایجاد نمی‌کنند بلکه با ایجاد دافعه فضایی موجب پایداری ذرات پراکنده می‌گردد (۱۲). نتایج مربوط به پتانسیل زتا در جدول شماره ۱ و نمودار شماره ۴ نشان داده شده است. در ۳ فرمولاسیون F3، F2، F1 با ثابت ماندن مقدار دارو و لیپید و افزایش میزان امولسیفایر پتانسیل زتا از $1/35 \pm 1/35$ در فرمولاسیون شماره ۱ به $1/5 \pm 23/8$ در فرمولاسیون ۳، به صورت معنا داری کاهش می‌یابد ($p < 0.05$).

می شود به طوری که پتانسیل زتا در نانوذرات لیپیدی جامد در فرمول ($12/56 \pm 25/5$) F4 که به ترتیب با کیتوسان های high، middle، low روکش داده اند (۱۴/۴۶ $\pm 0/51$)، F4-0/1% HC ($21/3 \pm 0/81$)، F4-0/1% HC ($15/7 \pm 0/45$)، F4-0/1% MC در مطالعه ای که توسط یانگ و همکاران برای بهبود پایداری، رهش، ویژگی های زیست چسبی و جذب سلولی نانوذرات انجام شد، مشاهده گردید که روکش نانوذرات با کیتوسان موجب تغییر در علامت و مقدار عددی پتانسیل زتا می شود(۵).

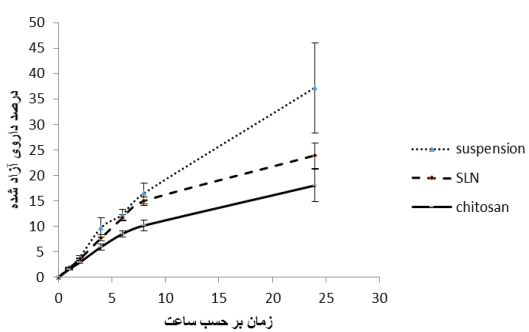
بررسی تاثیرات کیتوسان با ویسکوزیته های مختلف low-middle-high بر شاخص پراکندگی نانوذرات شاخص پراکندگی اندازه ذره ای نانوذرات لیپیدی جامد (PDI) در محدوده $0-0/5$ به معنای یکنواخت بودن پراکندگی اندازه ذره ای می باشد. روکش نانوذرات اسپیرونولاکتون با کیتوسان موجب افزایش پراکندگی ذره ای می شود. نتایج مربوط به PDI در جدول شماره ۱ و نمودار شماره ۵ نشان داده شده است. بهترین شاخص پراکندگی مربوط به فرمولاسیون ($0/053 \pm 0/350$) F4-0/1% HC که با غلظت $1/0$ درصد کیتوسان می باشد و با تغییر غلظت کیتوسان شاخص پراکندگی به طور موثری افزایش می یابد ($p < 0/05$) به طوری که مشاهده می شود با تغییر غلظت از $1/0$ درصد به $0/05$ درصد میزان شاخص پراکندگی $0/028 \pm 0/097$ و $0/033 \pm 0/084$ تغییر یافت. همچین در مورد تأثیر نوع کیتوسان مشاهده شد که بهترین شاخص پراکندگی مربوط به کیتوسان high می باشد ($0/053 \pm 0/350$). با تغییر نوع کیتوسان به low و middle شاخص پراکندگی به ترتیب $0/014 \pm 0/0639$ و $0/01 \pm 0/0423$ تغییر یافت. در مطالعه ای که توسط Sarmento و همکاران روی نانوذرات انسولین روکش شده با کیتوسان انجام شد، نشان داد که روکش با کیتوسان موجب افزایش در پراکندگی ذرات می شود(۱۳).

آمده، افزایش غلظت سورفاکtant تاثیر معنی داری بر پتانسیل زتا نداشته است و اما با افزایش غلظت سورفاکtant قدر مطلق پتانسیل زتا 15 ± 10 به 10 کاهش یافت(۱۴، ۱۳).

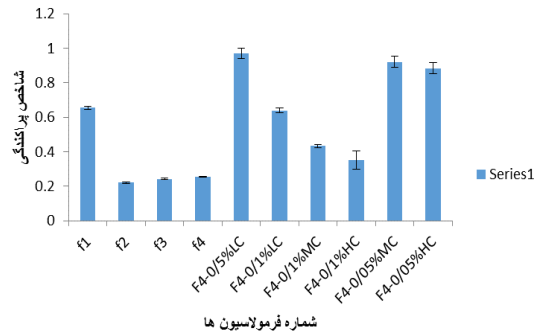
بررسی تاثیرات کیتوسان با ویسکوزیته های مختلف low-middle-high با ساخت فرمولاسیون های مختلف و روکش دادن آنها با پلیمر کیتوسان با ویسکوزیته های مختلف، روکش نانوذرات با کیتوسان موجب افزایش اندازه ذرات می شود که به دلیل جذب کیتوسان روی قطره های روغنی و تشکیل یک لایه ضخیم دور ذرات می باشد. با توجه به جدول شماره ۱ با کاهش درصد کیتوسان low از $0/5$ به $0/1$ اندازه ذره ای نانوذرات از $216/66 \pm 81/00$ در فرمولاسیون F4-0/5% LC به $481/3 \pm 1723/5$ در فرمولاسیون F4-0/1% LC کاهش پیدا می کند ولی در مورد middle با کاهش غلظت از $1/0$ به $0/05$ ، اندازه ذرات از $316/3 \pm 0/896$ در فرمولاسیون شماره $375/33 \pm 9/03$ در فرمولاسیون شماره $4-0/05\% MC$ اندکی افزایش پیدا می کند و در مورد high با کاهش غلظت از $1/0$ به $0/05$ در فرمولاسیون شماره $306/8 \pm 0/721$ در فرمولاسیون شماره $4-0/05\% HC$ به $356/6 \pm 7/43$ اندکی افزایش پیدا می کند. بین کیتوسان با ویسکوزیته های مختلف کمترین سایز مشاهده شده مربوط به نوع high می باشد. در مطالعه ای که توسط Sarmento و همکاران روی نانوذرات انسولین روکش شده با کیتوسان انجام شد نشان داد که روکش با کیتوسان موجب افزایش سایز ذرات می شود(۱۳).

بررسی تاثیرات کیتوسان با ویسکوزیته های مختلف low-middle-high با توجه به جدول شماره ۱ و نمودار شماره ۴، روکش دادن نانوذرات لیپیدی جامد اسپیرونولاکتون با پلیمر کیتوسان موجب تغییر در علامت عددی زتا

بررسی میزان داروی آزاد شده در محیط انحلال با توجه به بررسی های انجام گرفته SLN های روکش شده با کیتوسان نسبت به خود نانوذرات لیپیدی جامد و نانوسپانسیون، سرعت آزاد سازی کمتری دارند. طبق نمودار شماره ۷ آزاد سازی اسپیرونولاکتون با روکش کیتوسان high از غشای دیالیز از همان ساعت های اول به کندی انجام شد و به طور معنی داری در ساعت ۲ از $2/92 \pm 0/231$ درصد تا ساعت ۲۴ به $3/94 \pm 0/291$ درصد، داروی کمتری را نسبت به نانوسپانسیون اسپیرونولاکتون در ساعت ۲ از $0/05 \pm 0/04$ درصد تا ساعت ۲۴ به $0/05 \pm 0/04$ درصد نمود (جدول شماره ۲).
 با توجه به نمودار شماره ۷ آزاد سازی اسپیرونولاکتون با روکش کیتوسان high از غشای دیالیز به طور موثری از نانوذرات لیپیدی جامد در طی ۲۴ ساعت کمتر بوده است ($p < 0/05$). نانو ذرات روکش شده با کیتوسان از ساعت اول تا ۲۴ ساعت بعد رهشی آهسته دارند. روکش نانو ذرات با کیتوسان یک لایه ضخیمی را اطراف هسته لیپیدی تشکیل می دهد که منجر به آزادسازی آهسته دارو می شود پس می توان گفت روکش دادن نانوذرات با پلیمر کیتوسان موجب کنترل در سرعت آزاد سازی دارو می شود.
 وانگ و همکاران در مطالعه ای برای افزایش کارایی نانوذرات لیپیدی سیس پلاتین در درمان سرطان وابسته به گردن نشان دادند که نانوذرات روکش شده با کیتوسان نسبت به نانو ذرات لیپیدی سرعت آزادسازی کمتری دارند(۱۵).

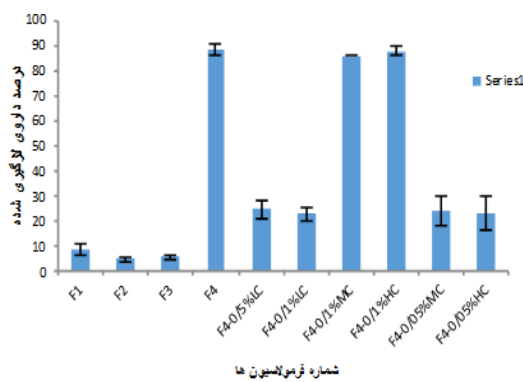


نمودار شماره ۷: مقایسه آزاد سازی داروی اسپیرونولاکتون از سه فرم نانوسپانسیون، نانوذرات لیپیدی جامد و نانوذرات روکش شده با کیتوسان در محیط انحلال در زمان های مختلف



نمودار شماره ۸: میانگین PDI نانوذرات لیپیدی جامد و نانوذرات روکش شده با کیتوسان در فرمولاسیون های ۱-۱۶

بررسی میزان بارگیری دارو نتایج مریوط به بارگیری دارو در نانوذرات لیپیدی و فرمولاسیون های روکش شده با کیتوسان در جدول شماره ۱ و نمودار شماره ۶ نشان داده شده است. میزان بارگیری دارو با افزایش میزان اسپان از $1/32$ گرم به 4 گرم از $8/84 \pm 1/88$ در فرمولاسیون F1 به $88/36 \pm 2/25$ در فرمولاسیون F4 بصورت موثری افزایش یافت ($p < 0/05$). روکش کردن فرمولاسیون F4 با کیتوسان (F4-0/1%MC و F4-0/1%HC) تغییر معناداری در میزان بارگیری دارو نداشته است. Ridolfi و همکارانش روی نانوذرات لیپیدی جامد و نانوذرات لیپیدی جامد روکش شده با کیتوسان دارو ترینوین مطالعه انجام دادند و رابطه معنا داری بین بارگیری نانوذرات لیپیدی جامد و نانوذرات لیپیدی جامد روکش شده با کیتوسان نیافتند(۱۵).



تصویر شماره ۹: میانگین درصد داروی بارگیری شده نانوذرات روکش شده با کیتوسان در فرمولاسیون های ۷ و ۸

جدول شماره ۲: مقایسه آزاد سازی داروی اسپرولاتکتون از سه فرم نانوسپانسیون، نانو ذرات لیپیدی جامد و نانو ذرات روکش شده با کیتوسان high در محیط انحلال در زمان های مختلف

ننانوسپانسیون	زمان بر حسب ساعت	درصد داروی آزاد شده به صورت تجمعی بر حسب میلی گرم	
	F4	F4-0/1%HC	
۱/۷۶±۰/۱۲۲	۱/۷۷±۰/۲۱۷	۱/۵۶±۰/۱۶۶	۱
۳/۹۴±۰/۹۹۱	۳/۵۹±۰/۲۳۱	۲/۹۲±۰/۲۲۱	۲
۹/۷۶±۱/۸۶۲	۷/۷۱±۰/۹۱۴	۵/۹۵±۰/۶۰۹	۴
۱۲/۲۸±۱/۰۵۶	۱۱/۶۳±۰/۵۸۲	۸/۵۰±۰/۵۹۵	۶
۱۶/۸۵±۱/۹۹	۱۴/۹۴±۰/۸۴۵	۱۰/۱۳±۱/۰۵۱	۸
۳۷/۱۶±۸/۹۱۸	۲۳/۸۹±۲/۴۹۹	۱۸/۰۰۱±۳/۱۴۹	۲۴

در مطالعه‌ای که توسط یانگ لی و همکاران برای بهبود رهش نانوذرات لیپیدی و کنترل آزادسازی آن انجام گرفت، نشان داده شد که نانوذرات روکش شده با کیتوسان نسبت به نانو ذرات روکش شده با پولوکسامر ۱۸۸، و نانو ذرات روکش شده با پولوکسامر ۱۸۸ و پلی‌اتیلن گلیکول سرعت آزادسازی کمتری دارند(۱۵).

References

- Mueller RH, Mäder K, Gohla S. Solid lipid nanoparticles (SLN) for controlled drug delivery - a review of the state of the art. *Eur J Pharm Biopharm* 2000; 50(1): 161-177.
- Bhushan B. Encyclopedia of nanotechnology. Netherlands; Springer 2012.
- Rohit B, Pal KI. A method to prepare solid lipid nanoparticles with improved entrapment efficiency of hydrophilic drugs. *Curr Nanosci* 2013; 9(2): 211-220.
- Dammak I, Bittante AMQB, Lourenço RV, do Amaral Sobral PJ. Properties of gelatin-based films incorporated with chitosan-coated microparticles charged with rutin .*Int J Biol Macromol* 2017; 101: 643-652
- Y Luo Y, Teng Z, Li Y, Wang Q. Solid lipid nanoparticles for oral drug delivery: chitosan coating improves stability, controlled delivery, mucoadhesion and cellular uptake. *Carbohydr Polym* 2015; 122: 221-229.
- Schäfer-Korting M, Mehnert W, Körting HC. Lipid nanoparticles for improved topical application of drugs for skin diseases. *Adv Drug Deliv Rev* 2007; 59(6): 427-443.
- Limayem Blouza I, Charcosset C, Sfar S, Fessi H. Preparation and characterization of spironolactone-loaded nanocapsules for paediatric use. *Int J Pharm* 2006; 325(1-2): 124-131.
- Kelidari HR, Saeedi M, Akbari J, MortezaSemnani K, Gill P, Valizadeh H, et al. Formulation optimization and in vitro skin penetration of spironolactone loaded solid lipid nanoparticles. *Colloids Surf B Biointerfaces* 2015; 128: 473-479.
- Laouini A, Jaafar-Maalej C, Sfar S, Charcosset C, Fessi H. preparation using a hollow fiber membrane contactor--application to spironolactone encapsulation. *Int J Pharm*. 2011; 415(1-2): 53-61.
- Schubert MA, Müller-Goymann CC. Characterisation of surface-modified solid lipid nanoparticles (SLN): influence of lecithin and nonionic emulsifier. *Eur J Pharm Biopharm* 2005; 61(1-2): 77-86.
- Shah R, Eldridge D, Palombo E, Harding I. Optimisation and stability assessment of solid lipid nanoparticles using particle size and zeta potential. *J Phys Sci* 2014; 25(1): 59-75.
- Anarjan N, Tan CP. Effects of selected polysorbate and sucrose ester emulsifiers on the physicochemical properties of astaxanthin

- nanodispersions. *Molecules* 2013; 18(1): 768-777.
13. Fonte P, Andrade F, Araújo F, Andrade C, Neves Jd, Sarmento B .Chitosan-coated solid lipid nanoparticles for insulin delivery. *Methods Enzym* 2012; 508: 295-314.
14. Pizzol CD, Filippin-Monteiro FB, Restrepo JA, Pittella F, Silva AH, Alves de Souza P, et al. Influence of surfactant and lipid type on the physicochemical properties and biocompatibility of solid lipid nanoparticles. *Int J Environ Res Public Health* 2014; 11(8): 8581-8596.
15. Wang JY, Wang Y, Meng X. Chitosan nanolayered cisplatin-loaded lipid nanoparticles for enhanced anticancer efficacy in cervical cancer. *Nanoscale Res Lett* 2016; 11(1): 524.